http://www.journals.zju.edu.cn/med

DOI:10.3785/j.issn. 1008-9292.2008.05.006

### 5-脂氧酶/半胱氨酰白三烯途径不参与 大鼠 C6 胶质瘤细胞缺氧缺糖损伤

黄雪琴1,黄晓佳1.2,张丽慧1.3,戚玲玲1,卢韵碧1,张纬萍1,魏尔清1

- (1. 浙江大学医学院 药理学系,浙江 杭州 310058;
- 2. 江苏大学医学院 药理学教研室,江苏 镇江 212013;
- 3. 杭州师范大学基础医学院 药理学教研室,浙江 杭州 310036)

[摘 要] 日的:观察缺氧缺糖(OGD)是否损伤大鼠C6 胶质瘤细胞,以及5-脂氧酶(5-LOX)/半胱氨酰白三烯(CysLT)途经是否参与OGD 损伤。方法:在OGD 处理并恢复不同时间后,观察C6 细胞活性变化,以及5-LOX 抑制剂和CysLT 受体拮抗剂的影响;以免疫细胞化学法观察5-LOX 蛋白的细胞内分布;以RT-PCR 法检测CysLT<sub>1</sub>和CysLT<sub>2</sub>受体mRNA 表达;并观察白三烯D<sub>4</sub>(LTD<sub>4</sub>)对C6细胞的作用。结果:OGD 4~8 h 并恢复24~72 h 后,可诱导C6 细胞损伤;5-LOX 抑制剂和CysLT 受体拮抗剂对OGD 损伤无明显作用。OGD 未诱导5-LOX 的核膜移位。C6 细胞高表达CysLT<sub>2</sub>受体,但CysLT<sub>1</sub>受体表达很微弱,OGD 不影响它们的表达。此外,LTD<sub>4</sub>对C6 细胞没有明显作用。结论:OGD 可诱导C6 细胞损伤,但5-LOX/CysLT 途径不参与OGD 诱导的损伤。

[**关键**词] 神经胶质瘤; 缺氧缺血,脑; 白三烯类/分析; 白三烯B4/分析; 半胱氨酸/分析; 白三烯 拮抗剂; 花生四烯酸盐 5-脂氧合酶; 细胞,培养的

[中图分类号] Q 256; Q 421 [文献标识码] A [文章编号] 1008-9292(2008)05-0456-07

# 5-Lipoxygenase/cysteinyl leukotriene pathway is not involved in injury of rat C6 glioma cells induced by oxygen-glucose deprivation

HUANG Xue-qin¹, HUANG Xiao-jia¹.², ZHANG Li-hui¹.³, QI Ling-ling¹, LU Yun-bi¹, ZHANG Wei-ping¹, WEI Er-qing¹ (1. Department of Pharmacology, College of Medicine, Zhejiang University, Hangzhou 310058, China; 2. Department of Pharmacology, College of Medicine, Jiangsu University, Zhenjiang 212013, China; 3. Department of Pharmacology, College of Basic Medicine, Hangzhou Normal University, Hangzhou 310036)

[Abstract] Objective: To determine whether oxygen-glucose deprivation (OGD) induces C6 cell injury, and whether 5-lipoxygenase (5-LOX)/cysteinyl leukotriene (CysLT) pathway is involved in OGD-induced injury. Methods: After OGD treatment and recovery for various durations, the viability of C6 cells was determined, and the effects of 5-LOX inhibitors and CysLT receptor antagonists were investigated. Intracellular distribution of 5-LOX protein was detected by

收稿日期: 2008-04-21 修回日期: 2008-07-17

基金项目:国家自然科学基金(30772561);浙江省自然科学基金(Y204210).

作者简介:黄雪琴(1984-),女,硕士研究生.

通讯作者: 魏尔清(1952-), 男, 博士, 教授, 博导, 从事神经药理学研究; E-mail: weieq2006@zju. edu. cn.

immunocytochemistry, and the mRNA expressions of CysLT<sub>1</sub> and CysLT<sub>2</sub> receptors were detected by RT-PCR. The effect of leukotriene D<sub>4</sub> (LTD<sub>4</sub>) on C6 cells was also investigated. Results: OGD for 4~8 h followed by recovery for 24~72 h significantly induced C6 cell injury. Neither 5-LOX inhibitors nor CysLT receptor antagonists inhibited OGD-induced injury. OGD did not induce 5-LOX translocation into the nuclear membrane. C6 cells highly expressed CysLT<sub>2</sub> receptor, but the expression of CysLT<sub>1</sub> receptor was much weaker; the expression was not affected by OGD. In addition, LTD<sub>4</sub> did not affect C6 cells significantly. Conclusion: OGD can induce C6 cell injury, but 5-LOX/CysLT pathway might be not involved in OGD-induced injury.

[Key words] Glioma; Hypoxia-ischemia, brain; Leukotrienes/anal; Leukotriene B4/anal; Cysteine/anal; Leukotriene antagonists; Arachidonate 5-lipoxygenase; Cells, cultured

[ J Zhejiang Univ (Medical Sci), 2008, 37(5): 456-462.]

5-脂氧酶(5-lipoxygenase,5-LOX)及其产 物半胱氨酰白三烯(cysteinyl leukotrienes, CysLTs)参与脑缺血损伤[1-4]。在体外培养的大 鼠皮层神经元,以缺氧缺糖(oxygen-glucose deprivation, OGD) 诱导的缺血样损伤后, 5-LOX激活、CysLTs 释放增加[5-6]。在大鼠星形 胶质细胞,OGD 也能激活 5-LOX、增加CysLTs 释放;再者,较轻的OGD(1 h)处理或较低浓度 的白三烯 D<sub>4</sub>(LTD<sub>4</sub> 1 nmol/L, CysLTs 之一), 通过激活半胱氨酰白三烯受体1(CysLT<sub>1</sub>),促 进细胞增殖;较重的()GD(4 h)或较高浓度的 LTD₄(100 nmol/L),通过激活 CysLT₂受体诱 导细胞损伤[7]。大量研究表明,5-LOX/CysLTs 途径参与神经元及星形胶质细胞的缺血性损 伤,而且CysLT<sub>1</sub>和CysLT<sub>2</sub>受体分别介导不同的 效应。

除了原代神经元或星形胶质细胞,神经元或胶质细胞来源的细胞株也用于缺血性细胞损伤的研究。在这些细胞株中,大鼠嗜铬细胞瘤PC12 细胞可模拟神经元损伤,广泛用于OGD损伤等研究<sup>[8-10]</sup>;而大鼠胶质瘤C6细胞是来源于星形胶质细胞的肿瘤细胞株,其含有的酶类、膜受体及在递质合成等方面,接近星形胶质细胞,是一个研究胶质细胞炎症反应的模型<sup>[11-12]</sup>。本研究观察了C6细胞缺血性损伤以及5-LOX/CysLTs途径的作用。

#### 1 材料与方法

1.1 实验试剂 咖啡酸、MK-886、胰酶、多聚

赖氨酸购于美国Sigma 公司;齐留通购于北京高盟化工有限公司;二苯基四氮唑溴盐(MTT)购于上海普飞生物技术有限公司;兔抗人5-LOX多克隆抗体购自Santa Cruz公司。高糖DMEM培养基购于美国Gibco公司,胎牛血清购于杭州四季青公司。

1.2 细胞培养 大鼠C6胶质瘤细胞购于中国 科学院上海细胞所。实验用C6 细胞控制在传代 后第10至40代。从液氮罐中取出冻存的细胞, 直接放入37℃水浴箱中快速解冻,当细胞完全 解冻时,将液体移入离心管,1000 r/min 离心5 min 后,弃上清,加入新鲜培养液,重悬细胞, 1 000 r/min 离心5 min,清洗1次,弃上清,再次 加入新鲜含有胎牛血清的培养液,重悬细胞,移 人培养瓶中,在5% CO2培养箱(美国 Forma Scientific 公司)37℃培养。当细胞量达培养瓶 底面积80%~90%时,以0.25%胰酶消化2~3 min,以完全培养液(DMEM 含10%胎牛血清) 终止消化,将细胞收集到离心管中,1000 r/ min 离心5 min 后,弃上清。加入完全培养液重 悬细胞,细胞浓度为5×10<sup>6</sup>/ml,接种在96孔和 24 孔中的细胞浓度分别为 2×10<sup>4</sup>/孔、1×10<sup>5</sup>/ 孔。待细胞接种24 h后,将培养液换成含0.5% 血清培养液继续培养48 h 后进行实验。

 1.62、NaHCO<sub>3</sub> 26.19,pH 7.4)小心清洗 2 遍,每孔加入100 µl 无糖平衡盐缓冲液,放入缺氧盒中,通入95% N<sub>2</sub>/5% CO<sub>2</sub>的混合气体。30 min后,将密封缺氧盒放入37 C恒温箱。缺氧缺糖处理 2~8 h 后,小心吸取无糖平衡盐缓冲液,恢复正常培养条件,加入含糖 DMEM,在 37 C、5% CO<sub>2</sub>条件下(简称恢复)继续培养。正常对照组操作同前,但不进行OGD 处理。5-LOX 抑制剂及 CysLT 受体拮抗剂于 OGD 处理前 30 min加人,并维持在OGD 以及恢复整个过程中。

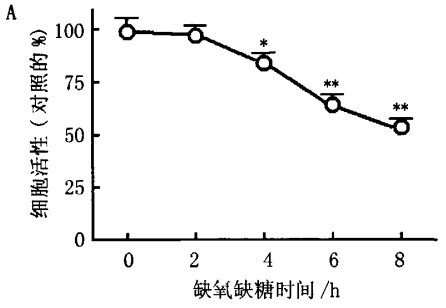
- 1.4 MTT 分析和细胞计数 OGD 处理结束后,测定细胞活性。加入适量 MTT 液(5 g/L, 含糖 DMEM 液配制),使培养板中每孔终浓度为0.5 g/L。在5% CO<sub>2</sub>、37 C反应4 h后,加入适量二甲基亚砜中止反应,并抽提生成的formazan,在酶标仪上于490 nm 处测定样品的吸光度值(OD<sub>190</sub>)。在部分实验,C6 细胞经OGD处理后,以胰酶消化并离心收集细胞,室温下用0.2%台盼蓝溶液染色5 min,用细胞计数板进行活细胞(台盼蓝拒染)计数。
- 1.5 RT-PCR 检测 CysLT 受体 mRNA mRNA 提取及 RT-PCR 方法参照文献[3-4], CysLT<sub>1</sub>受体的上游引物:5'-(+) TCT CCG TTG TGG GTT TCT-3',下游引物:5'-(+) TAT AAG GCA TAG GTG GTG-3',基因片 段长度为 214 bp; β-actin 上游引物: 5'-(+) TAC AAC CTC CTT GCA GCT CC-3',下游 引物:5'-(+) GGA TCT TCA TGA GGT AGT CAG TC -3';基因片段长度为 620 bp。 CysLT2 受体的上游引物:5'-(+) AGC GTT AGG AGT GCC TGG AT-3',下游引物:5'-(+) CAA GTG GAT GGT CCG AAG TG-3',基因片段长度为520 bp;β-actin 上游引物: 5'-(+) AAC CCT AAG GCC AAC CGT GAA-3',下游引物:5'-(+) TCA TGA GGT AGT CTG TCA GGT -3',基因片段长度为 285 bp.
- 1.6 免疫细胞化学检测 参照文献方法<sup>[13]</sup>, 对培养在涂有 0.01%多聚赖氨酸盖玻片上的 C6细胞,以抗 5-LOX 多克隆抗体(1:200)检 测 5-LOX 的细胞内分布。
- 1.7 统计方法 数据以 $\bar{x}\pm s$  表示,用SPSS for

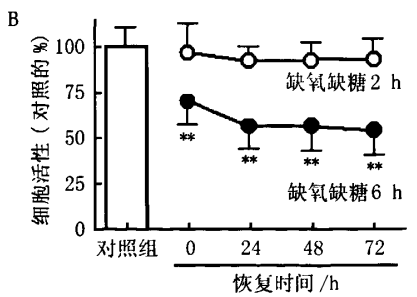
Window 10.0 作统计学处理,两组均数间比较 采用t 检验,P<0.05 认为差异具有显著性。

#### 2 结 果

2.1 OGD 诱导 C6 细胞损伤 OGD 处理 2、4、6、8 h 后,随处理时间增加,细胞出现损伤。2 h 后细胞活性(MTT 试验的吸光值)尚未改变,4 h 后开始降低,6 h 和8 h 后分别降低约 30%和45%(图1A)。因此选择OGD 2 h 和6 h 作为亚损伤和中度损伤的时间点。

OGD 2 h 并恢复 24~72 h 后,细胞活性与对照组相比无明显变化;而 OGD 6 h 并恢复 24~72 h 后,出现较严重的损伤(图 1B)。因此选择OGD 6 h 恢复 24 h 作为C6 细胞损伤的条件。





与对照组比较,P < 0.05, $P < 0.01(\bar{x} \pm s, n=8)$ 

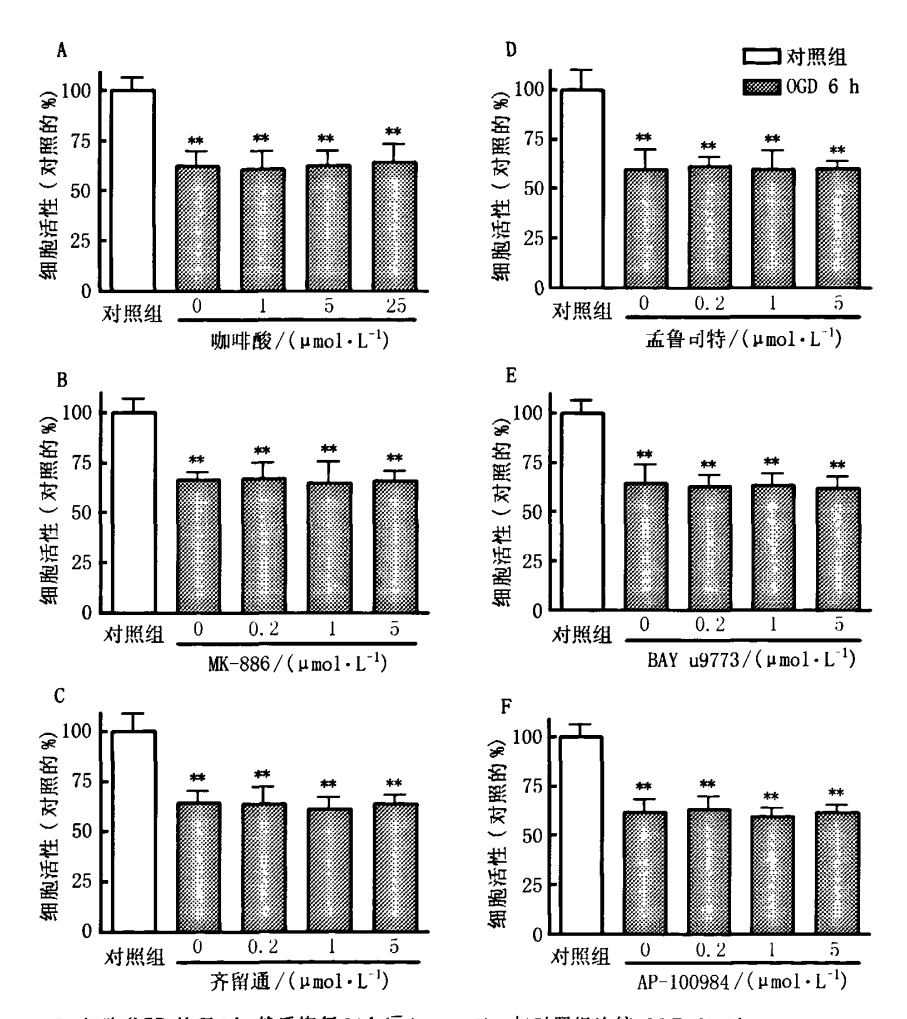
## 图1 缺氧缺糖(A)以及恢复不同时间(B) 对C6细胞活性的影响

Fig. 1 Effect of oxygen-glucose deprivation (A) and various durations of recovery (B) on cell viability in C6 cells

2. 2 5-LOX 抑制剂及 CysLT 受体拮抗剂对

OGD 诱导的 C6 细胞损伤的作用 5-LOX 抑制剂咖啡酸和齐留通在 25 和 5 μmol/L 浓度范围内,5-LOX 结合蛋白(FLAP)抑制剂MK-886在 5 μmol/L 浓度范围内,对正常 C6 细胞活性没有明显影响(数据未显示),但均不能减少OGD 6 h,恢复 24 h 引起的细胞活性降低(图

 $2A\sim C$ )。OGD 6 h、恢复24 h 后C6 细胞活性的降低,不能被CysLT<sub>1</sub>受体选择性拮抗剂孟鲁司特(0.2~5.0  $\mu$ mol/L),CysLT<sub>1</sub>和CysLT<sub>2</sub>受体非选择性拮抗剂BAY u9773(0.2~5.0  $\mu$ mol/L)以及CysLT<sub>2</sub>受体选择性拮抗剂AP-100984(0.2~5.0  $\mu$ mol/L)所拮抗(图2D~F)。



C6 细胞 OGD 处理 6 h,然后恢复 24 h( $\bar{x}\pm s,n=8$ ); 与对照组比较,\*\*P<0.01

图2 5-LOX 抑制剂(A~C)及CysLT 受体拮抗剂(D~F)对OGD/恢复后C6 细胞活性 降低的作用

Fig. 2 Effects of 5-LOX inhibitors (A~C) and CysLT receptor antagonists (D~F) on the reduced cell viability after OGD/recovery in C6 cells

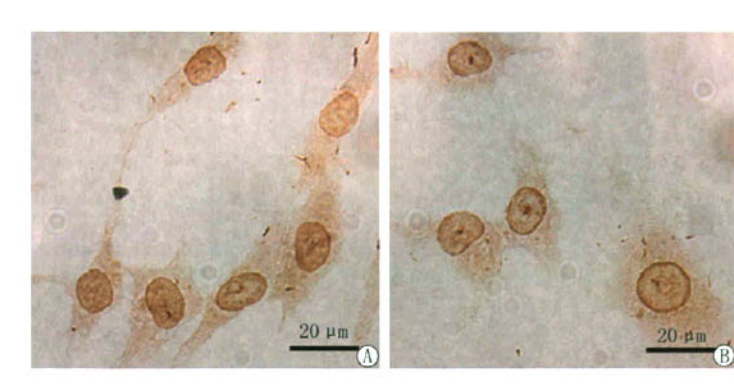
2.3 OGD 对 C6 细胞 5-LOX 细胞内分布的影响 免疫细胞化学实验表明,在正常 C6 细胞

中,5-LOX 分布在C6 细胞的细胞浆、细胞核膜及细胞核内;OGD 6 h、恢复1 h 后,5-LOX 的

分布没有明显改变(图3)。

2.4 C6 细胞的 CysLT<sub>1</sub>与 CysLT<sub>2</sub>受体 mRNA 表达以及LTD<sub>4</sub>对C6 细胞的作用 RT-PCR 结 果显示,C6 细胞有CysLT<sub>2</sub>受体mRNA 表达,而 CysLT<sub>1</sub>受体 mRNA 表达很弱;OGD 6 h 恢复 48 h 后,C6 细胞CysLT<sub>1</sub>与CysLT<sub>2</sub>受体 mRNA 表达均没有变化(图4A)。

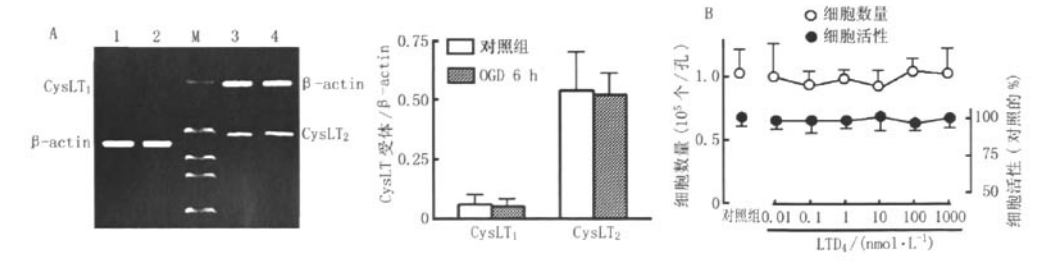
为了进一步研究C6 细胞损伤与CysLTs 的 关系,观察了CysLT<sub>1</sub>/CysLT<sub>2</sub>受体激动剂LTD<sub>4</sub> 对C6 细胞的作用。细胞计数和MTT 试验均表 明,LTD<sub>4</sub>0.01 $\sim$ 1 000 nmol/L 处理48 h,对C6 细胞没有明显的作用(图 4B)。



C6细胞经OGD处理6h后恢复1h,然后做5-LOX免疫染色,实验重复3次,结果相似

图3 OGD 对C6 细胞内5-LOX 分布的影响

Fig. 3 Effect of OGD on the intracellular distribution of 5-LOX in C6 cells



A 为RT-PCR 试验、1、3:对照; 2、4:OGD 6 h,恢复48 h;M:分子标记( $\overline{x}\pm s,n=4$ )。B 为C6 细胞以LTD、处理48 h,细胞活性( $\overline{x}\pm s,n=8$ ),细胞数量(n=5);对照组与LTD、处理组比较无显著性差异

图4 C6细胞CysLT₁和CysLT₂受体mRNA表达(A)以及LTD₄对C6细胞的作用(B)

Fig. 4 CysLT $_1$  and CysLT $_2$  receptor mRNA expressions in C6 cells (A), and the effects of LTD $_4$  in C6 cells (B)

#### 3 讨论

本研究表明,体外缺血性损伤(OGD)可引起C6 细胞时间依赖性活性降低。亚损伤强度OGD(2 h)处理并恢复24~72 h,并不影响C6

细胞活性;而中度OGD(6h)处理以及恢复不同时间后,出现C6细胞损伤。表明C6细胞OGD处理可以作为体外缺血性损伤的模型,但C6细胞对OGD损伤的敏感性比原代培养的星形胶质细胞要低。在星形胶质细胞培养中,亚损伤强

度OGD 为1 h,中度OGD 为4 h<sup>[7]</sup>。

但是,与原代神经元<sup>[5-6]</sup>、PC12 细胞<sup>[8-10]</sup>以及原代星形胶质细胞<sup>[7]</sup>不同的是,5-LOX 及其产物 CysLTs 并不参与 C6 细胞的 OGD 损伤。5-LOX 抑制剂以及 CysLT 受体拮抗剂和激动剂的作用,以及 5-LOX 在 C6 细胞内的分布,都表明了这一点。本研究采用的抑制剂和拮抗剂浓度,均在其他细胞研究中证明是有效浓度<sup>[5-10]</sup>。5-LOX 抑制剂咖啡酸和齐留通、5-LOX激活蛋白抑制剂 MK-886 不能保护 OGD 诱导的 C6 细胞 UGD 并不引起 5-LOX 的核膜移位,而该移位现象是 5-LOX 激活的主要特征,在原代神经元<sup>[5-6]</sup>以及 PC12 细胞<sup>[8-10]</sup>都得到证实。这些结果说明,5-LOX 代谢途径可能不参与 C6 细胞缺血性损伤。

对于 5-LOX 产物 CysLTs 的作用, CysLT<sub>1</sub>/CysLT<sub>2</sub> 受体激动剂 LTD<sub>4</sub>在1000 nmol/L浓度范围内,并无诱导C6细胞增殖或 损伤; CysLT<sub>1</sub>和 CysLT<sub>2</sub>受体选择性及非选择 性拮抗剂对 C6 细胞 OGD 损伤均无明显作用。 此外,CysLT2受体在C6细胞有较强的表达,而 CysLT<sub>1</sub>受体表达很弱,两种亚型的表达在OGD 处理后均无明显改变。这些结果说明, CysLT 受体也可能不参与C6 细胞OGD 损伤。在原代 培养的星形胶质细胞,OGD 1 h 可诱导CysLT, 受体表达,并促进细胞增殖;而OGD4h及高浓 度LTD<sub>4</sub>(100 nmol/L)可诱导CysLT<sub>2</sub>受体表 达,并诱导细胞损伤;CysLT1和CysLT2受体拮 抗剂分别阻断细胞增殖和损伤效应[7,14]。在原 代培养的神经元,CvsLT 受体激动剂和拮抗剂 对OGD 损伤均无明显作用[15],而动物实验表 明CysLT1受体拮抗剂对脑缺血损伤有保护作 用[2-3]。在CysLT1和CysLT2受体转染的PC12细 胞,CvsLT,受体可减轻OGD 损伤,而CysLT2受 体则加重OGD 损伤[10]。在人神经母细胞瘤SK-N-SH 细胞,仅有 CysLT1受体拮抗剂普鲁司特 参与其分化的调节[16]。说明CysLT 受体在神经 元或神经元样细胞的作用,受到两种亚型之间 或与其他内环境因素的相互影响,在C6细胞是 否受这些因素影响,还有待于进一步研究。

此外,静息状态的星形胶质细胞CysLT1受

体有较弱的表达,CysLT<sub>2</sub>受体几乎没有表达<sup>[7]</sup>,这正与C6细胞相反。C6细胞高表达的CysLT<sub>2</sub>受体虽然不参与OGD损伤,但可能有其他调节作用,例如,在大肠腺癌细胞,CysLT<sub>2</sub>受体可促进肿瘤细胞分化<sup>[17]</sup>。C6细胞作为一种胶质肿瘤细胞,可用于抗肿瘤药的研究<sup>[18]</sup>,其表达的CysLT<sub>2</sub>受体,将成为今后肿瘤发生及抗肿瘤药机制研究的一个目标。

总之,我们发现OGD 可诱导C6 细胞损伤,但 5-LOX 及其产物 CysLTs 不参与OGD 损伤的调节。C6 细胞OGD 损伤模型可用于今后研究,其高表达的 CysLT $_2$ 受体也为今后研究提供了线索。

#### References:

- [1] CAPRA V.THOMPSON M D.SALA A.et al. Cysteinyl-leukotrienes and their receptors in asthma and other inflammatory diseases; critical update and emerging trends [J]. Med Res Rev, 2007,27(4);469-527.
- [2] ZHOU Y, WEI E Q, FANG S H, et al. Spatiotemporal properties of 5-lipoxygenase expression and activation in the brain after focal cerebral ischemia in rats [J]. Life Sci, 2006, 79 (17): 1645-1656.
- [3] FANG S H, WEI E Q, ZHOU Y, et al. Increased expression of CysLT receptor 1 in the brain mediates neuronal damage and astrogliosis after focal cerebral ischemia in rats [ J ].

  Neuroscience, 2006, 140(3): 969-979.
- [4] FANG S H, ZHOU Y, CHU L S, et al. Spatiotemporal expression of cysteinyl leukotriene receptor-2 mRNA in rat brain after focal cerebral ischemia [J]. Neurosci Lett, 2007, 412 (1):78-83.
- [5] GE Q F, WEI E Q, ZHANG W P, et al.

  Activation of 5-lipoxygenase after oxygenglucose deprivation is partly mediated via NMDA
  receptor in rat cortical neurons [J]. J
  Neurochem, 2006, 97(4), 992-1004.
- [6] GE Q F, HU X, MA Z Q, et al. Baicalin attenuates oxygen-glucose deprivation-induced injury via inhibiting NMDA receptor-mediated 5-lipoxygenase activation in rat cortical neurons

- [J]. Pharmacol Res, 2007, 55(2):148-157.
- [7] HUANG X J, ZHANG W P, LI C T, et al. Activation of CysLT receptors induces astrocyte proliferation and death after oxygen-glucose deprivation [J]. Glia, 2008, 56(1):27-37.
- [8] SONG Y, WEI E Q, ZHANG W P, et al.
  Minocycline protects PC12 cells from ischemiclike injury and inhibits 5-lipoxygenase activation
  [J]. Neuroreport, 2004, 15(14): 2181-2184.
- [9] SONG Y, WEI E Q, ZHANG W P, et al. Minocycline inhibits NMDA-induced 5-lipoxygenase activation and cell injury in PC12 cells [J]. Brain Res, 2006, 1085(1):57-67.
- [10] SHENG W W, LI C T, ZHANG W P, et al. Distinct roles of CysLT<sub>1</sub>and CysLT<sub>2</sub>receptors in oxygen glucose deprivation-induced PC12 cell death [J]. Biochem Biophys Res Commun, 2006,346(1):19-25.
- [11] NAKATANI K, YAMAKUNI T, KONIO N, et al. gamma-Mangostin inhibits inhibitor-kappaB kinase activity and decreases lipopolysaccharide-induced cyclooxygenase-2 gene expression in C6 rat glioma cells [J]. Mol Pharmacol, 2004, 66(3): 667-674.
- [12] CIAMPA A R.DE PRATI A C.AMELIO E.et al. Nitric oxide mediates anti-inflammatory action of extracorporeal shock waves [J]. FEBS Lett.2005.579(30):6839-6345.
- [13] YUAN Yu-mei,Ll Cheng-tan,MA Zhen-qiu,et al (衰玉梅,李成檀,马振秋,等). Transfection with 5-lipoxygenase/green fluorescence protein for evaluating injury-induced 5-lipoxygenase translocation to the nuclear membrane in PC12 cells [J]. Journal of Zhejiang University: Medical Science(浙江大学学报:医学版),2007, 36(2);111-116. (in Chinese)

- [14] CICCARELLI R, D'ALIMONTE I, SANTAVENERE C, et al. Cysteinylleukotrienes are released from astrocytes and increase astrocyte proliferation and glial fibrillary acidic protein via cys-LT1 receptors and mitogen-activated protein kinase pathway

  [J]. Eur J Neurosci, 2004, 20(6):1514-1524.
- [15] HU Xin, GE Qiu-fu, ZHANG Wei-ping, et al (胡 欣, 葛求富,张纬萍,等). Effects of cysteinyl receptor agonist and antagonists on rat primary neurons [J]. Journal of Zhejiang University: Medical Science(浙江大学学报:医学版), 2007, 36(2); 117-122. (in Chinese)
- [16] PENG Fang, FANG San-hua, ZHENG Xiao-liang, et al (彭 芳,方三华,郑晓亮,等).
  Pranlukast, a cysteinyl leukotriene receptor 1 antagonist, promotes the differentiation of SK-N-SH cells [J]. Journal of Zhejiang University: Medical Science(浙江大学学报:医学版),2007,36(2):123-129. (in Chinese)
- [17] MAGNUSSON C, EHRNSTROM R, OLSEN J, et al. An increased expression of cysteinyl leukotriene 2 receptor in colorectal adenocarcinomas correlates with high differentiation [J]. Cancer Res, 2007, 67(19): 9190-9198.
- [18] MA Zhen-qiu, HUANG Xiao-jia, ZHANG Weiping, et al (马振秋,黄晓佳,张纬棒,等). Dihydroartemisinin inhibits proliferation and induces apoptosis in rat glioma C6 cells [J]. Journal of Zhejiang University: Medical Science (浙江大学学报:医学版), 2007, 36(3): 267-272. (in Chinese)

[责任编辑 黄晓花]